

Fig. 1. Diagram for the calculation of theoretical combustion temperature.

ものである。それゆえ、理論燃焼温度と銑鉄成分、炉況などとの間には密接な関係があるはずであり、この点についての研究は数多く見られる。

現在の高炉操業においては炉床温度は荷の重さと送風温度、送風湿度などにより調整しており、調整の目安としては銑鉄成分、風圧、棚スリップの頻度などを用いている。

また焼結鉱を多量に使用した場合には理論燃焼温度が変化することも考えられ、また炉ごとに最適の理論燃焼温度があることも考えられる。

上記の考察にしたがつて各炉ごとの理論燃焼温度を調べ、これと風圧、銑中 Si%, 棚スリップ回数、焼結鉱使用割合との関係を調べた。

#### IV. 調査結果の概要

##### 1) 区別データについて

a) 各炉ごとの理論燃焼温度について Table 1 よ

Table 1. Theoretical combustion temperatures of Higashida B. F.

	No. 3 B. F.	No. 4 B. F.	No. 5 B. F.	No. 6 B. F.
Date of blowing-in	April-1-'55	March-10-'56	June-27-'56	Dec. -14-'51
Period investigated	Dec. '59~Oct. '60	Dec. '59~Oct. '60	Dec. '59~Sept. '60	Dec. '59~Oct. '60
Quality of iron produced	O. H. Metal	Foundry Iron & O. H. Metal	O. H. Metal	O. H. Metal
Production during the period (t/d)	641	549	739	619
Productivity (t/d/m³)	1.237	1.072	1.144	0.952
Coke rate (kg/t)	605	717	603	622
Theoretical comb. temp. (°C)	1960~2100	2020~2200	1840~1960	1960~2080

Table 2. Relation between theoretical combustion temperatures and operating data I.

	No. 3 B. F.	No. 4 B. F.	No. 5 B. F.	No. 6 B. F.
Theoretical comb. temp. T (°C)	$\bar{T} = 2030$ $\sigma = 36$	$\bar{T} = 2110$ $\sigma = 45$	$\bar{T} = 1900$ $\sigma = 30$	$\bar{T} = 2020$ $\sigma = 29$
Blast pressure P (g/cm²)	$\bar{P} = 728$ $\sigma = 42$	$\bar{P} = 685$ $\sigma = 32$	$\bar{P} = 757$ $\sigma = 37$	$\bar{P} = 831$ $\sigma = 35$
Coefficient of correlation	0.469**	0.253	0.428*	0.025
Regression equation	$P = 0.548T - 385$	—	$P = 0.533T - 255$	—
Hangs and slips H* (times/day)	$\bar{H} = 5.02$ $\sigma = 2.12$ 0.159	$\bar{H} = 5.92$ $\sigma = 2.64$ 0.026	$\bar{H} = 6.10$ $\sigma = 3.94$ 0.340	$\bar{H} = 1.10$ $\sigma = 1.10$ 0.135
Coefficient of correlation	0.469**	0.253	0.428*	0.025
Si-content of metallic Si (%)	$\bar{Si} = 0.612$ $\sigma = 0.045$ 0.009	$\bar{Si} = 1.801$ $\sigma = 0.550$ 0.139	$\bar{Si} = 0.664$ $\sigma = 0.054$ 0.088	$\bar{Si} = 0.667$ $\sigma = 0.061$ —0.411*
Coefficient of correlation	0.469**	0.253	0.428*	0.025
Regression equation	—	—	—	$Si = 2.41 - 0.00086T$
%-Sinter in burden S (%)	$\bar{S} = 41.7$ $\sigma = 5.8$ 0.326	$\bar{S} = 38.3$ $\sigma = 10.6$ 0.087	$\bar{S} = 42.6$ $\sigma = 18.1$ 0.038	$\bar{S} = 34.4$ $\sigma = 64$ 0.096
Coefficient of correlation	0.469**	0.253	0.428*	0.025

\*  $\{(No. \text{ of } \text{hangs}) \times 3 + No. \text{ of } \text{slips}\} / (No. \text{ of } \text{days})$ .

Table 3. Relation between theoretical combustion temperatures and operating data II.

	No. 4 B. F.	No. 5 B. F.
Blast pressure P Coefficient of correlation Regression equation	$P = 69\% \quad \sigma = 43$ $0.595^{**}$ $P = -0.513T + 1771$	$P = 665 \quad \sigma = 70$ $0.767^{**}$ $P = 1.163x - 1527$
Hangs and slips H* Coefficient of correlation Regression equation	$H = 5.53 \quad \sigma = 4.9$ $0.405^{**}$ $H = 0.0407 - 79.8$	$H = 14.2 \quad \sigma = 9.7$ $0.125$ —
Si-content of metallic Si Coefficient of correlation Regression equation	$\bar{Si} = 1.19 \quad \sigma = 0.75$ $0.629^{**}$ $Si = 0.00956x - 18.8$	$\bar{Si} = 1.31 \quad \sigma = 0.57$ $-0.287^{*}$ —

\*  $\{(No. \text{ of } \text{hangs}) \times 3 + No. \text{ of } \text{slips}\} / (No. \text{ of } \text{days})$ .

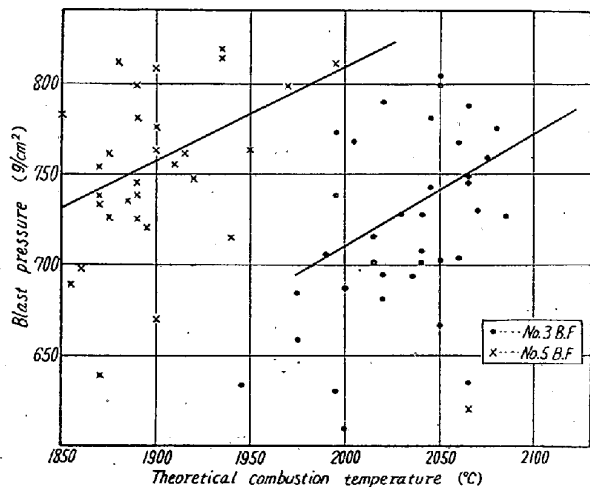


Fig. 2. Relation between theoretical combustion temperature and blast pressure.

より明らかなるごとく、各高炉には特有の理論燃焼温度がある。No. 4 B. F. の理論燃焼温度が高いのは鉄物銑を吹製していたことと関係があると思われる。No. 5 B. F. の理論燃焼温度が低いのは低風温操業を行なつたためである。

#### b) 理論燃焼温度と各操業要因との関係 Table

2より明らかなるごとく、No. 3, No. 5 B. F. では理論燃焼温度と風圧の間に正相関が見られるがこれは燃焼帶の形状の変化によるものと思われる (Fig. 2 参照)。

Si% と理論燃焼温度との間には相関が見られず、No. 6 B. F. では負の相関が表われているが (Fig. 3), これは他の要因の影

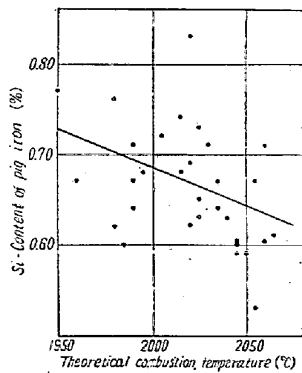


Fig. 3. Relation between theoretical combustion temperature and Si-content of pig iron (No. 6 B.F.).

響と思われる。

棚スリップと理論燃焼温度の間に相関関係が見られないのはアクションにより消されているためと思われる。焼結鉱の使用量もこの程度 (30~50%) の変動では強い影響を表わしていない。

#### 2) 日ごとのデータについて

1960年9月21日から11月20日までのNo. 4 B.F., No. 5 B.F. の日毎データについての調査結果はTable 3に示すとおりである。

No. 4 B.F. は10月14日に鉄物銑から製鋼銑に切りかえ、No. 5 B.F. は同日製鋼銑から鉄物銑に切りかえた。日毎のデータでは各操業要因と理論燃焼温度との間に一層強い相関関係が見られる。No. 4 B.F. で風圧と理論燃焼温度の間に負の相関関係が見られる (Fig. 4) のは、Si の高い鉄物銑を吹く際に大巾に減荷していたためと思われる。一般的には理論燃焼温度を上げれば風圧、Si 上昇し、また棚の危険が増加するものと

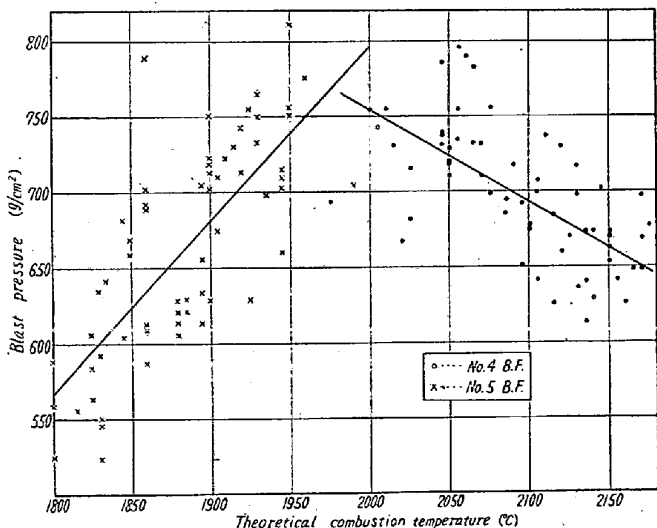


Fig. 4. Relation between theoretical combustion temperature and blast pressure.

考えられる。

#### V. 結 言

羽口前理論燃焼温度について研究を行なつた結果

- 1) 各炉ごとに特有の理論燃焼温度があること
  - 2) 風圧、棚スリップ頻度、銑中 Si% などとは相関関係があること
- などが明らかとなつた。

今後はさらに異なる角度から研究を進めて行く心算である。

#### (9) 大阪製鋼第1高炉の設備概要

(大阪製鋼第1高炉の設備と  
操業実績について—I)

大阪製鋼臨時建設部

堺千代次・東方田金男・○平林実三

Outline of Equipments in No. 1 Blast Furnace of Osaka Steel Mfg. Co.

(On the equipment and operation data in  
No. 1 blast furnace of Osaka Steel Mfg. Co.  
—I)

Tiyoji SAKAI, Kaneo TōhōDA  
and Jituzo HIRABAYASHI.

#### I. 緒 言

大阪製鋼第一高炉は、昭和34年当初より計画し同年7月より着工、翌35年4月27日火入れを行なうまで9カ月余の短期間に完成し現在後述のごとく好成績にて順調に操業している。本報ではその好成績にコークス比の世界記録達成の裏付けとなるべき諸設備の概要、とともに高炉およびその付帯設備の特性を主体として述べる。

#### II. 設備の特性

本設備は日産300tの小型であるが性能がよい。いわゆるトランジスター高炉として、各プラントとも最新式かつ斬新的な設備をしている。とくにつぎの諸点を考慮し設置した。

1) 原料は粉鉱を主体としてDL焼結機により自熔性焼結鉱を生産し、高炉装入はそれとコークスとに単一化し、わが国初めてのベルトコンベヤー方式およびわが社独特特許申請中の炉頂装入装置により、装入物の粉化を防止し、操業の安定化を計っている。

2) 酸素富化(最高7%添加)および蒸気添加による送風湿分の調整を行ない、かつ高温(最高1000°C)操業を行ない生産性の向上とコストの低下を計っている。

3) 原料処理および輸送設備ならびに、焼結設備を含むすべてのプラントをオートメーションとし輸送の合理化と原料品位の安定化による高炉操業の安定と成品成分の均一化を確保し、かつ作業要員の減少を計っている。

したがつて最近の大型高炉に比肩しても、生産性と効率の点において決して優るとも劣らない設備になつている。

#### III. 各設備の概要

##### 1) 高炉本体

鉄皮式フリースタンディング方式にして炉体上部に通常ソロバン玉と称するふくらみを設け、その最大直径部に伸縮管を入れ炉体の熱膨張が炉頂におよばないようにし、かつふくらみによつて炉頂ガスの流速を下げ、ダストの流出を少なくしている。

炉内有効容積は326m³で湯留部分はカーボン煉瓦を使用し、なおシャフト上部まで合計672個の純銅製の密閉強制流水式の冷却盤を挿入し、炉体煉瓦の寿命を長く保たせるようにし、長年月間プロフィールの不変を期している。また全自熔性焼結鉱の装入と酸素富化に伴ういろいろな条件により炉頂温度の低下を予想し、従来の公称300T/D～500T/Dの高炉より炉高を約3mほど低くしている。

炉頂圧は900mmAq前後の準高圧操業を行ない、装入速度のばらつきを少なくし、その上前述のソロバン玉の効果とともにダストの流出を少なくしている。

##### 2) 熱風炉

カウパー式2基とし、チェックバー煉瓦は40mmφの円穴のいわゆるフライン型を採用し、単位容積当たりの伝熱面積を大きくして熱効率を高めている。全伝熱面積は従来のものより出銑量に比し大きく取り26,000m²を有している。そのため燃焼ガスのカロリーが低いにもかかわらず(700cal/Nm³以下)1,000°Cの高温を送風出来るようにしている。なおまた環状管はとくに内径を大きくして衝風の羽口面における圧力および風量の分布を平均化し、炉況の安定を期している。

制御関係はまず切換は全自動方式を採用し熱風出口温度、廢ガス出口温度などの切換指令を受けて「燃焼」から「休止」、「休止」から「送風」と規則正しくかつ制限開閉器による確認動作方式を採用し確実に切換える。また送風弁の開閉には送風圧力の変化を無くするため別に充圧用プロワーを設置し、送風弁開閉前に予め送風圧と同じ炉内圧力にして置くよう考慮している。

自動燃焼制御装置はアスカニヤ油圧式を採用しドーム温度より発信して自動的に燃焼を制御している。